



Universidade de Brasília



Laboratório  
Compartilhado de Ensino e  
Pesquisa em Telecomunicações

# Modulações Analógicas

## Capítulo 4: AM, FM e Aplicações

Prof. Daniel Costa Araújo

Universidade de Brasília  
Laboratório de Telecomunicações

February 19, 2026



# Sumário

- 1 Modulação em Amplitude
- 2 Modulação Angular: FM e PM
- 3 Efeito do Ruído em Sistemas de Comunicação

# Capítulo 4

Modulações Analógicas

AM, FM e Aplicações em Sistemas de Comunicação



# Por que Modular Sinais?

## Comunicação Banda Base vs. Comunicação por Portadora

### Razões para modulação:

#### ① Multiplexação (FDM):

- Múltiplos sinais compartilham mesmo meio
- Cada sinal em frequência diferente

#### ② Propagação e Antenas:

- Antena eficiente: tamanho  $\approx \lambda/4$
- Sinal de 1 kHz:  $\lambda = 300 \text{ km} \rightarrow$  antena impraticável
- Portadora de 1 MHz:  $\lambda = 300 \text{ m} \rightarrow$  antena de 75 m

#### ③ Largura de Banda vs. Frequência:

- Aloca sinais em bandas apropriadas
- Reduz ruído e interferência

#### ④ Processamento de Sinal:



## Classificação das Modulações

**Modulação Analógica:** Parâmetro da portadora varia continuamente com mensagem

**Portadora:**  $c(t) = A_c \cos(2\pi f_c t + \phi_c)$

**Três parâmetros moduláveis:**

**1 Amplitude  $A_c$ :**

- Modulação em Amplitude (AM)
- Variantes: DSB-SC, DSB-LC, SSB, VSB

**2 Frequência  $f_c$ :**

- Modulação em Frequência (FM)

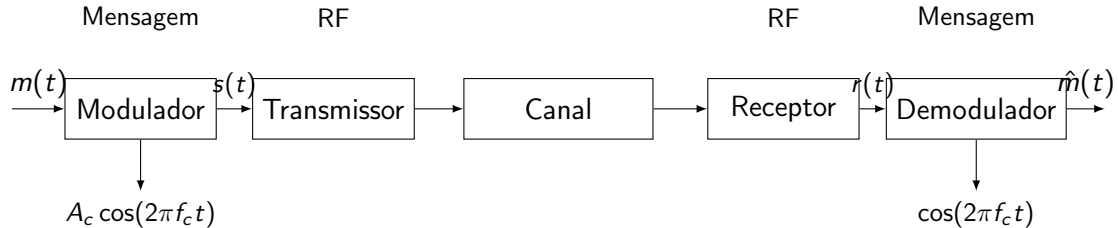
**3 Fase  $\phi_c$ :**

- Modulação em Fase (PM)

**Nesta seção:** Modulação em Amplitude e suas variantes



# Diagrama de Blocos: Sistema de Comunicação



**Componentes principais:**

- **Modulador:** Combina mensagem  $m(t)$  com portadora
- **Canal:** Meio de transmissão (ar, cabo, fibra)
- **Demodulador:** Recupera  $m(t)$  do sinal modulado



# AM DSB-SC: Double Sideband Suppressed Carrier

## Definição

Modulação DSB-SC:

$$s(t) = A_c m(t) \cos(2\pi f_c t)$$

onde:

- $m(t)$ : sinal modulante (mensagem) com largura de banda  $W$
- $A_c$ : amplitude da portadora
- $f_c$ : frequência da portadora ( $f_c \gg W$ )

Características:

- Amplitude varia linearmente com  $m(t)$
- Portadora suprimida (não transmitida)



## Análise Espectral do DSB-SC

**Transformada de Fourier de  $s(t) = A_c m(t) \cos(2\pi f_c t)$ :**

Usando  $\cos(2\pi f_c t) = \frac{e^{j2\pi f_c t} + e^{-j2\pi f_c t}}{2}$ :

$$s(t) = A_c m(t) \frac{e^{j2\pi f_c t} + e^{-j2\pi f_c t}}{2}$$

Pela propriedade de deslocamento em frequência:

$$m(t)e^{j2\pi f_c t} \xleftrightarrow{\mathcal{F}} M(f - f_c)$$

Portanto:

$$S(f) = \frac{A_c}{2} [M(f - f_c) + M(f + f_c)]$$

**Interpretação:**

- Espectro de  $m(t)$  deslocado para  $\pm f_c$



## Largura de Banda do DSB-SC

$$S(f) = \frac{A_c}{2} [M(f - f_c) + M(f + f_c)]$$

### Análise da largura de banda:

- Mensagem  $m(t)$  tem largura de banda  $W$  (de  $-W$  a  $W$ )
- Após modulação:
  - USB ocupa:  $f_c$  a  $f_c + W$
  - LSB ocupa:  $f_c - W$  a  $f_c$
- Largura de banda total do sinal modulado:

$$B_{\text{DSB}} = 2W$$

### Observações:

- As duas portadoras laterais carregam a mesma informação.



# Potência do DSB-SC

**Potência transmitida:**

$$P_s = \frac{1}{T} \int_0^T |s(t)|^2 dt = \frac{1}{T} \int_0^T A_c^2 m^2(t) \cos^2(2\pi f_c t) dt$$

Usando  $\langle \cos^2(2\pi f_c t) \rangle = 1/2$ :

$$P_s = \frac{A_c^2}{2} \langle m^2(t) \rangle = \frac{A_c^2}{2} P_m$$

onde  $P_m$  é a potência média de  $m(t)$ .

**Potência do DSB-SC**

$$P_s = \frac{A_c^2 P_m}{2}$$



## Exemplo 1: DSB-SC com Tom Único

Sinal modulante:  $m(t) = \cos(2\pi f_m t)$

Sinal DSB-SC:

$$s(t) = A_c \cos(2\pi f_m t) \cos(2\pi f_c t)$$

Usando identidade trigonométrica:

$$\cos A \cos B = \frac{1}{2} [\cos(A - B) + \cos(A + B)]$$

$$s(t) = \frac{A_c}{2} [\cos(2\pi(f_c - f_m)t) + \cos(2\pi(f_c + f_m)t)]$$

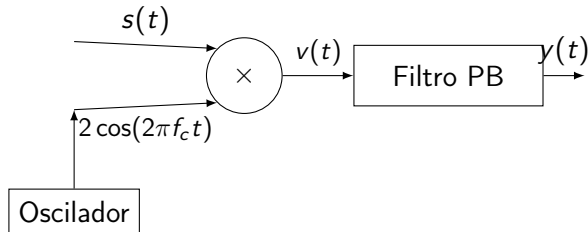
Componentes espectrais:

- LSB em  $f_c - f_m$ : amplitude  $A_c/2$
- USB em  $f_c + f_m$ : amplitude  $A_c/2$
- Nenhuma componente em  $f_c$ !



# Demodulação Coerente do DSB-SC

Detector de Produto (Síncrono):



Análise matemática:

Sinal recebido:  $r(t) = A_c m(t) \cos(2\pi f_c t)$

Após multiplicação com  $2 \cos(2\pi f_c t)$ :

$$\text{Modulações Analógicas } v(t) \equiv 2A_c m(t) \cos^2(2\pi f_c t) \equiv A_c m(t)[1 + \cos(4\pi f_c t)]$$



## Efeito de Erro de Fase na Demodulação

Oscilador local com erro de fase:  $2 \cos(2\pi f_c t + \theta)$

Após multiplicação:

$$v(t) = 2A_c m(t) \cos(2\pi f_c t) \cos(2\pi f_c t + \theta)$$

Usando  $\cos A \cos B = \frac{1}{2}[\cos(A - B) + \cos(A + B)]$ :

$$v(t) = A_c m(t) [\cos \theta + \cos(4\pi f_c t + \theta)]$$

Após filtro passa-baixas:

$$y(t) = A_c m(t) \cos \theta$$

Observações:

- Atenuação por fator  $\cos \theta$
- Para  $\theta = 90^\circ$ :  $y(t) = 0$  (perda total!)
- Modulação analógica:  $\cos \theta \approx 1$  (pouca degradação)



## AM Convencional (DSB-LC)

**Motivação:** DSB-SC requer sincronização perfeita. Podemos simplificar o receptor?

**Definição:** AM Convencional

$$s(t) = A_c[1 + k_a m(t)] \cos(2\pi f_c t)$$

onde:

- $k_a$ : sensibilidade ou constante de modulação
- $1 + k_a m(t)$ : envelope do sinal
- Condição:  $|k_a m(t)| \leq 1$  (evitar supermodulação)

**Diferença fundamental:**

$$s(t) = \underbrace{A_c \cos(2\pi f_c t)}_{\text{Portadora}} + \underbrace{A_c k_a m(t) \cos(2\pi f_c t)}_{\text{Modulação}}$$



## Índice de Modulação

**Normalização:** Assumir  $m(t)$  normalizado tal que  $\max |m(t)| = 1$

**Índice de modulação:**

$$\mu = k_a \max |m(t)| = k_a$$

Para  $0 \leq \mu \leq 1$ :

$$s(t) = A_c[1 + \mu m_n(t)] \cos(2\pi f_c t)$$

onde  $m_n(t)$  é  $m(t)$  normalizado ( $\max |m_n(t)| = 1$ ).

**Envelope:**

$$A(t) = A_c[1 + \mu m_n(t)]$$

- $\mu = 0$ : portadora não modulada
- $\mu = 1$ : modulação 100% (envelope vai a zero)



## Supermodulação

**Condição de supermodulação:**  $\mu > 1$  ou  $|k_a m(t)| > 1$

**Problema:**

$$1 + k_a m(t) < 0 \quad \text{para alguns valores de } t$$

Envelope torna-se negativo  $\rightarrow$  inversão de fase  $\rightarrow$  distorção

**Consequências:**

- Detector de envelope produz saída distorcida
- Espectro contém componentes espúrias
- Ineficiência de potência
- **Deve ser evitada!**

**Solução:** Controle automático de ganho (AGC) no transmissor

Veja figura: Comparação de envelopes para  $\mu = 0.5, 1.0$  e  $1.5$



## Espectro do AM Convencional

$$s(t) = A_c \cos(2\pi f_c t) + A_c k_a m(t) \cos(2\pi f_c t)$$

Transformada de Fourier:

$$S(f) = \frac{A_c}{2} [\delta(f - f_c) + \delta(f + f_c)] + \frac{A_c k_a}{2} [M(f - f_c) + M(f + f_c)]$$

Componentes:

- Portadora: impulsos em  $\pm f_c$  com amplitude  $A_c/2$
- Bandas laterais: versões deslocadas de  $M(f)$ 
  - USB:  $f_c$  a  $f_c + W$
  - LSB:  $f_c - W$  a  $f_c$

Largura de banda:

$$B_{AM} = 2W \quad (\text{mesma que DSB-SC})$$



## Potência do AM Convencional

$$s(t) = A_c[1 + k_a m(t)] \cos(2\pi f_c t)$$

Potência total:

$$P_s = \langle A_c^2 [1 + k_a m(t)]^2 \cos^2(2\pi f_c t) \rangle$$

$$= \frac{A_c^2}{2} \langle [1 + k_a m(t)]^2 \rangle$$

$$= \frac{A_c^2}{2} [1 + 2k_a \langle m(t) \rangle + k_a^2 \langle m^2(t) \rangle]$$

Se  $\langle m(t) \rangle = 0$  (sem componente DC):

$$P_s = \frac{A_c^2}{2} [1 + k_a^2 \langle m^2(t) \rangle]$$



## Eficiência de Potência do AM

**Eficiência:** Fração da potência total que carrega informação

$$\begin{aligned}\eta &= \frac{P_{sb}}{P_s} = \frac{P_{sb}}{P_c + P_{sb}} \\ &= \frac{\frac{A_c^2 k_a^2 P_m}{2}}{\frac{A_c^2}{2} + \frac{A_c^2 k_a^2 P_m}{2}} = \frac{k_a^2 P_m}{1 + k_a^2 P_m}\end{aligned}$$

Para tom único  $m(t) = \cos(2\pi f_m t)$ :  $P_m = 1/2$

$$\eta = \frac{\mu^2/2}{1 + \mu^2/2} = \frac{\mu^2}{2 + \mu^2}$$

**Eficiências típicas:**

- Modulações Analógicas 1%



## Exemplo 2: AM Convencional com Tom Único

Dado:  $m(t) = \cos(2\pi f_m t)$ ,  $\mu = 0.8$ ,  $A_c = 100$  V

Sinal AM:

$$s(t) = 100[1 + 0.8 \cos(2\pi f_m t)] \cos(2\pi f_c t)$$

Especro:

- Portadora em  $f_c$ : amplitude 50 V
- LSB em  $f_c - f_m$ : amplitude  $40 \times 0.5 = 20$  V
- USB em  $f_c + f_m$ : amplitude 20 V

Potências:

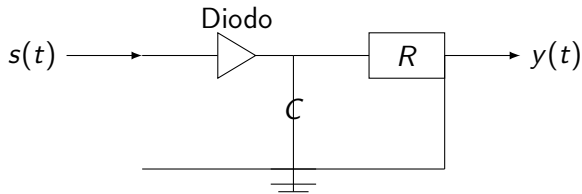
$$P_c = \frac{100^2}{2} = 5000 \text{ W (em } 1 \Omega)$$

$$P_{sb} = \frac{0.8^2}{2} \times 5000 = 1600 \text{ W}$$



## Detector de Envelope

**Vantagem do AM convencional:** Demodulação simples com detector de envelope



### Funcionamento:

- Díodo retifica o sinal (permite apenas semi-ciclos positivos)
- Capacitor  $C$  carrega rapidamente nos picos
- Descarrega lentamente através de  $R$
- Saída segue o envelope  $A_c[1 + k_a m(t)]$



## AM SSB: Single Sideband

### Observação fundamental:

No DSB-SC, ambas bandas laterais (USB e LSB) carregam a mesma informação.

### Ideia do SSB:

Transmitir apenas uma banda lateral → economiza largura de banda!

### Vantagens do SSB:

- Largura de banda:  $B_{SSB} = W$  (metade do DSB!)
- Potência concentrada em uma banda
- Menos interferência
- Melhor para canais seletivos em frequência

### Desvantagens:

- Geração mais complexa



# Representação Matemática do SSB

SSB pode ser gerado de duas formas:

1. Filtragem de DSB-SC
2. Método de Hilbert (phasing)

Representação usando Transformada de Hilbert:

SSB-USB (Upper Sideband)

$$s_{\text{USB}}(t) = \frac{A_c}{2} [m(t) \cos(2\pi f_c t) - \hat{m}(t) \sin(2\pi f_c t)]$$

SSB-LSB (Lower Sideband)

$$s_{\text{LSB}}(t) = \frac{A_c}{2} [m(t) \cos(2\pi f_c t) + \hat{m}(t) \sin(2\pi f_c t)]$$



# Transformada de Hilbert

## Definição no Tempo

$$\hat{m}(t) = m(t) * \frac{1}{\pi t} = \frac{1}{\pi} \int_{-\infty}^{\infty} \frac{m(\tau)}{t - \tau} d\tau$$

## Definição na Frequência

$$\hat{M}(f) = -j \operatorname{sgn}(f) M(f) = \begin{cases} -jM(f) & f > 0 \\ +jM(f) & f < 0 \end{cases}$$

## Interpretação:

- Defasador de  $-90^\circ$  para todas as frequências
- Para  $f > 0$ : fase reduzida em  $90^\circ$



## Derivação do SSB-USB

**Partindo do DSB-SC:**  $s_{\text{DSB}}(t) = A_c m(t) \cos(2\pi f_c t)$

Espectro:  $S_{\text{DSB}}(f) = \frac{A_c}{2} [M(f - f_c) + M(f + f_c)]$

**Para obter USB:** Aplicar filtro passa-altas ideal centrado em  $f_c$

$$H_{\text{USB}}(f) = \begin{cases} 1 & f > f_c \\ 0 & f < f_c \end{cases}$$

No tempo (método de Hilbert):

$m(t) \cos(2\pi f_c t)$  contribui para USB e LSB

$\hat{m}(t) \sin(2\pi f_c t)$  contribui para USB e LSB com fases opostas

**Combinação que cancela LSB:**



## Espectro do SSB

SSB-USB:

$$S_{\text{USB}}(f) = \begin{cases} \frac{A_c}{2} M(f - f_c) & f > 0 \\ \frac{A_c}{2} M(f + f_c) & f < 0 \end{cases}$$

Apenas banda superior em torno de  $f_c$ !

Largura de banda:

$$B_{\text{SSB}} = W$$

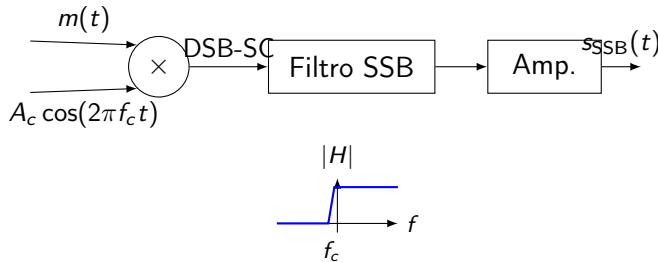
Economia de 50% comparado a DSB!

Potência:

$$P_{\text{SSB}} = \frac{A_c^2 P_m}{4}$$



## Geração de SSB: Método do Filtro

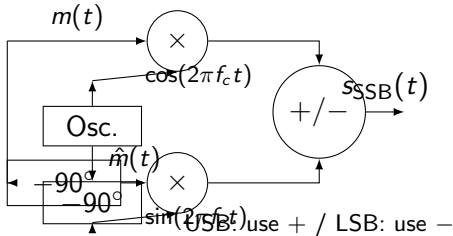


Processo:

- ① Gerar DSB-SC:  $A_c m(t) \cos(2\pi f_c t)$
- ② Filtrar com passa-faixas centrado em  $f_c$ 
  - USB: passa alta de  $f_c$
  - LSB: passa baixa de  $f_c$



## Geração de SSB: Método de Hilbert



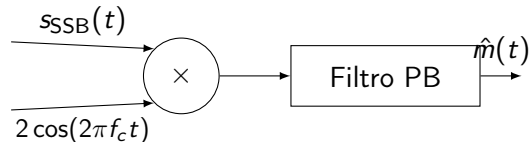
### Características:

- Não requer filtros seletivos
- Defasador de  $-90^\circ$  (implementado com all-pass networks)
- Dois osciladores em quadratura (defasados  $90^\circ$ )
- Escolha do sinal no somador determina USB ou LSB



## Demodulação do SSB

SSB requer detecção coerente:



Sensibilidade a erro de frequência:

Se oscilador local tem erro  $\Delta f$ :

$$\hat{m}(t) = m(t) \cos(2\pi\Delta f \cdot t)$$

Sinal recuperado tem modulação residual em  $\Delta f$ !

Para voz:  $\Delta f < 20$  Hz é aceitável



## Exemplo 3: Comparação DSB vs SSB

Sinal modulante:  $m(t)$  com largura de banda  $W = 5$  kHz

Frequência da portadora:  $f_c = 1$  MHz

Comparação:

Característica	DSB-SC	SSB
Largura de banda	$2W = 10$ kHz	$W = 5$ kHz
Potência (relativa)	1.0	0.5
Geração	Simples	Complexa
Demodulação	Coerente	Coerente
Sensibilidade $\Delta f$	Baixa	Alta
Aplicações	Estéreo FM	Rádio amador Comunicação longa distância



## AM VSB: Vestigial Sideband

### Problema com SSB:

Filtragem abrupta em  $f_c$  é difícil, especialmente para sinais com componentes DC ou de muito baixa frequência (ex: vídeo).

### Solução: VSB

Transmitir uma banda lateral completa + "vestígio" da outra.

### Definição

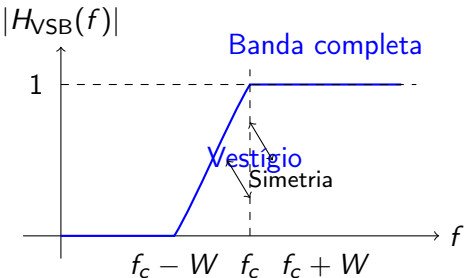
VSB é um compromisso entre DSB e SSB:

- Largura de banda:  $W < B_{VSB} < 2W$
- Transmite USB completa + parte da LSB (ou vice-versa)
- Filtro com roll-off gradual em  $f_c$



# Filtro VSB

Característica do filtro VSB:



Condição de simetria vestigial:

$$H_{VSB}(f_c + f) + H_{VSB}(f_c - f) = \text{constante}$$



# Análise Matemática do VSB

Sinal VSB:

$$s_{\text{VSB}}(t) = [A_c m(t) \cos(2\pi f_c t)] * h_{\text{VSB}}(t)$$

No domínio da frequência:

$$S_{\text{VSB}}(f) = \frac{A_c}{2} [M(f - f_c) + M(f + f_c)] H_{\text{VSB}}(f)$$

Demodulação coerente com  $2 \cos(2\pi f_c t)$ :

Produto resulta em:

$$v(t) = s_{\text{VSB}}(t) \cdot 2 \cos(2\pi f_c t)$$

Após passa-baixas, se  $H_{\text{VSB}}$  satisfaz condição de simetria:

$$y(t) = A_c m(t)$$

Recuperação perfeita!



# VSB na TV Analógica

## Sistema NTSC (EUA):

- Sinal de vídeo: 0 a 4.2 MHz
- Frequência de portadora visual:  $f_v$
- Largura do canal: 6 MHz total

## Alocação espectral:

- Vestígio LSB: 1.25 MHz abaixo de  $f_v$
- USB completa: 4.2 MHz acima de  $f_v$
- Portadora de áudio FM: 4.5 MHz acima de  $f_v$

## Economia de banda:

- DSB precisaria:  $2 \times 4.2 = 8.4$  MHz
- VSB usa:  $1.25 + 4.2 = 5.45$  MHz
- Economia:  $\approx 35\%$



# Largura de Banda do VSB

Largura de banda geral:

$$B_{VSB} = W + f_{vest}$$

onde  $f_{vest}$  é a largura do vestígio.

Limites:

- Se  $f_{vest} = W$ :  $B_{VSB} = 2W$  (torna-se DSB)
- Se  $f_{vest} = 0$ :  $B_{VSB} = W$  (torna-se SSB)

Típico:  $f_{vest} = 0.2W$  a  $0.3W$

$$W < B_{VSB} < 2W$$

Exemplo NTSC:

- $W = 4.2$  MHz

Modulações Analógicas



## Tabela Comparativa: Tipos de AM

Tipo	DSB-SC	AM Conv.	SSB	VSB
Largura de banda	$2W$	$2W$	$W$	$W < B < 2W$
Potência (relativa)	1.0	$> 3.0$	0.5	$\approx 0.7$
Eficiência potência	Alta	Baixa ( $< 33\%$ )	Máxima	Alta
Geração	Simples	Simples	Complexa	Moderada
Demodulação	Coerente	Envelope	Coerente	Coerente
Complexidade RX	Média	Mínima	Alta	Média
Sensibilidade $\Delta f$	Baixa	N/A	Alta	Média
Aplicações	-	Rádio AM broadcast	Rádio amador	TV analógica

Escolha depende de:

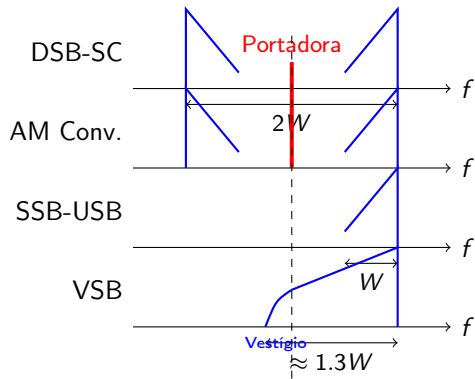
- Largura de banda disponível

Modulações Analógicas



## Comparação Espectral Visual

Para mesmo sinal modulante  $m(t)$  com banda  $W$ :





## Aplicações Práticas das Variantes AM

### AM Convencional (DSB-LC):

- Rádio AM broadcast (535-1705 kHz)
- Receptor muito simples e barato
- Ainda usado em países em desenvolvimento

### SSB:

- Rádio amador (HF: 3-30 MHz)
- Comunicações marítimas e aeronáuticas
- Comunicações militares de longa distância
- Telefonia por satélite (histórico)

### VSB:

- TV analógica terrestre (NTSC, PAL, SECAM)
- Modems de alta velocidade (histórico)
- Modulações Analógicas
- TV digital (ATSC)



# Resumo: Modulação em Amplitude

## Conceitos fundamentais:

- Modulação desloca espectro de banda base para RF
- Facilita multiplexação, propagação e processamento

## Quatro variantes principais:

- ① **DSB-SC:**  $s(t) = A_c m(t) \cos(2\pi f_c t)$ 
  - Simples, mas requer detecção coerente
- ② **AM Convencional:**  $s(t) = A_c [1 + k_a m(t)] \cos(2\pi f_c t)$ 
  - Detector de envelope, mas ineficiente ( $\eta \leq 33\%$ )
- ③ **SSB:** Usa transformada de Hilbert
  - Economiza largura de banda (50%)
- ④ **VSB:** Compromisso DSB-SSB
  - Ideal para sinais com componentes DC/baixa frequência

Escolha baseada em: Banda disponível, potência, complexidade, custo



## Modulação Angular vs. Modulação em Amplitude

**AM:** Amplitude varia, frequência e fase fixas

$$s_{\text{AM}}(t) = A(t) \cos(2\pi f_c t)$$

**Modulação Angular:** Amplitude fixa, ângulo (fase ou frequência) varia

$$s(t) = A_c \cos[\theta(t)] = A_c \cos[2\pi f_c t + \phi(t)]$$

onde  $\phi(t)$  é a fase modulada.

Duas variantes:

- ① **FM (Modulação em Frequência):**

Frequência instantânea varia com  $m(t)$

- ② **PM (Modulação em Fase):**

Modulações Analógicas

Nesta modulação a fase varia diretamente com  $m(t)$



## Fase e Frequência Instantâneas

Para sinal modulado  $s(t) = A_c \cos[\theta(t)]$ :

### Definições

**Fase instantânea:**

$$\theta(t) = 2\pi f_c t + \phi(t)$$

**Frequência instantânea:**

$$f_i(t) = \frac{1}{2\pi} \frac{d\theta(t)}{dt} = f_c + \frac{1}{2\pi} \frac{d\phi(t)}{dt}$$

**Interpretação:**

- $\theta(t)$ : argumento da função cosseno
- $f_i(t)$ : taxa instantânea de oscilação



# Definição de FM

## Modulação em Frequência (FM)

A frequência instantânea é proporcional à mensagem:

$$f_i(t) = f_c + k_f m(t)$$

onde  $k_f$  é a constante de sensibilidade de frequência (Hz/V).

**Desvio de frequência:**

$$\Delta f(t) = k_f m(t)$$

**Desvio máximo:**

$$\Delta f = k_f \max |m(t)|$$

Derivando a equação  $f_i(t)$ :



# Sinal FM no Domínio do Tempo

## Sinal FM

$$s_{\text{FM}}(t) = A_c \cos \left[ 2\pi f_c t + 2\pi k_f \int_{-\infty}^t m(\tau) d\tau \right]$$

Ou definindo o **índice de fase**:

$$\beta(t) = 2\pi k_f \int_{-\infty}^t m(\tau) d\tau$$

$$s_{\text{FM}}(t) = A_c \cos[2\pi f_c t + \beta(t)]$$

### Características:

- Amplitude constante:  $|s_{\text{FM}}(t)| = A_c$
- Toda informação está na fase



# Modulação em Fase (PM)

## Modulação em Fase (PM)

A fase instantânea é diretamente proporcional à mensagem:

$$\phi(t) = k_p m(t)$$

onde  $k_p$  é a constante de sensibilidade de fase (rad/V).

Sinal PM:

$$s_{\text{PM}}(t) = A_c \cos[2\pi f_c t + k_p m(t)]$$

Frequência instantânea:

$$f_i(t) = f_c + \frac{k_p}{2\pi} \frac{dm(t)}{dt}$$



## Relação entre FM e PM

FM pode ser vista como PM do integral:

$$\text{FM de } m(t) = \text{PM de } \int m(t)dt$$

PM pode ser vista como FM da derivada:

$$\text{PM de } m(t) = \text{FM de } \frac{dm(t)}{dt}$$

Conversão prática:





## FM com Tom Único: Configuração

**Sinal modulante:**  $m(t) = A_m \cos(2\pi f_m t)$

**Sinal FM:**

$$s(t) = A_c \cos \left[ 2\pi f_c t + 2\pi k_f A_m \int_{-\infty}^t \cos(2\pi f_m \tau) d\tau \right]$$

Integrando:

$$\int \cos(2\pi f_m \tau) d\tau = \frac{\sin(2\pi f_m t)}{2\pi f_m}$$

$$s(t) = A_c \cos \left[ 2\pi f_c t + \frac{k_f A_m}{f_m} \sin(2\pi f_m t) \right]$$

Definindo o **índice de modulação**:

$$\beta = \frac{k_f A_m}{f_m} = \frac{\Delta f}{f_m}$$



## Expansão de Bessel

Para analisar o espectro, usamos a identidade:

$$\cos[\beta \sin(\omega_m t)] = \sum_{n=-\infty}^{\infty} J_n(\beta) \cos(n\omega_m t)$$

onde  $J_n(\beta)$  são funções de Bessel de primeira espécie de ordem  $n$ .

Aplicando a  $s(t) = A_c \cos[2\pi f_c t + \beta \sin(2\pi f_m t)]$ :

Usando  $\cos(A + B) = \cos A \cos B - \sin A \sin B$ :

$$s(t) = A_c [\cos(2\pi f_c t) \cos(\beta \sin(2\pi f_m t)) - \sin(2\pi f_c t) \sin(\beta \sin(2\pi f_m t))]$$

E as identidades:



## Espectro FM: Resultado Final

Após manipulação algébrica:

$$s(t) = A_c \sum_{n=-\infty}^{\infty} J_n(\beta) \cos[2\pi(f_c + nf_m)t]$$

Interpretação do espectro:

- Portadora em  $f_c$ : amplitude  $A_c J_0(\beta)$
- Bandas laterais em  $f_c \pm nf_m$  para  $n = 1, 2, 3, \dots$
- Amplitude da  $n$ -ésima banda:  $A_c J_n(\beta)$
- Infinitas bandas laterais teoricamente
- Na prática:  $J_n(\beta) \approx 0$  para  $n > \beta + 1$

Diferença fundamental de AM:

- AM não tem bandas laterais (LISB, LISR)



# Funções de Bessel

Propriedades importantes:

- $J_{-n}(\beta) = (-1)^n J_n(\beta)$  (simetria)
- $J_n(-\beta) = (-1)^n J_n(\beta)$
- $\sum_{n=-\infty}^{\infty} J_n^2(\beta) = 1$  (conservação de potência!)
- Para  $\beta \ll 1$ :  $J_0(\beta) \approx 1$ ,  $J_1(\beta) \approx \beta/2$ ,  $J_n(\beta) \approx 0$  para  $n \geq 2$

Valores típicos:

$\beta$	$J_0$	$J_1$	$J_2$	$J_3$	$J_4$	$J_5$
0.5	0.94	0.24	0.03	0.00	-	-
1.0	0.77	0.44	0.11	0.02	0.00	-
2.0	0.22	0.58	0.35	0.13	0.03	0.01
5.0	-0.18	-0.33	0.05	0.36	0.39	0.26

Veja figura: Gráfico de  $J_n(\beta)$  vs.  $\beta$  para diferentes  $n$

Modulações Analógicas



## Largura de Banda de FM

**Problema:** Teoricamente, espectro FM tem largura infinita!

Na prática: Bandas com  $|J_n(\beta)| < 0.01$  são desprezíveis.

**Número significativo de bandas laterais:**

Aproximadamente  $n_{\max} \approx \beta + 1$

**Largura de banda aproximada:**

$$B \approx 2n_{\max}f_m = 2(\beta + 1)f_m$$

**Regra de Carson**

$$B_{\text{FM}} \approx 2(\Delta f + f_m) = 2f_m(\beta + 1)$$

onde  $\Delta f = k_f A_m$  é o desvio de frequência.



# NBFM vs. WBFM

Dois regimes de operação:

- ① **NBFM (Narrowband FM):**  $\beta \ll 1$ 
  - $B \approx 2f_m$  (similar a AM)
  - Poucas bandas laterais significativas
  - Comportamento quase linear
- ② **WBFM (Wideband FM):**  $\beta \gg 1$ 
  - $B \approx 2\Delta f$  (dominado pelo desvio)
  - Muitas bandas laterais
  - Melhor desempenho em ruído

Comparação com AM:

- AM:  $B = 2W$  (independente de  $A_c$  ou  $\mu$ )
- FM:  $B = 2\Delta f(1 + 1/\beta)$  (depende de  $\Delta f$ !)
- FM troca largura de banda por melhor SNR



## Exemplo 1: FM com Tom Único

Dados:

- $m(t) = \cos(2\pi \times 5000 \cdot t)$  (5 kHz)
- $\Delta f = 75$  kHz (desvio máximo)
- $f_c = 100$  MHz (portadora)

Cálculo do índice de modulação:

$$\beta = \frac{\Delta f}{f_m} = \frac{75 \text{ kHz}}{5 \text{ kHz}} = 15$$

Largura de banda (Carson):

$$B \approx 2(\Delta f + f_m) = 2(75 + 5) = 160 \text{ kHz}$$

Número de bandas significativas:

$$n_{\max} \approx \beta + 1 = 16$$



## Exemplo 2: Rádio FM Comercial

Padrão FCC para FM broadcast:

- Desvio máximo:  $\Delta f = 75 \text{ kHz}$
- Frequência máxima de áudio:  $f_m = 15 \text{ kHz}$
- Alocação de canal: 200 kHz

Índice de modulação:

$$\beta = \frac{75 \text{ kHz}}{15 \text{ kHz}} = 5$$

Largura de banda necessária:

$$B = 2(\Delta f + f_m) = 2(75 + 15) = 180 \text{ kHz}$$

Observação: Canal de 200 kHz acomoda 180 kHz + bandas de guarda

Banda FM: 88-108 MHz, espaçamento de 200 kHz

Nº Modulações Analógicas (100 - 90) / 2.0 - 100 : :



# Princípios de Demodulação FM

**Objetivo:** Recuperar  $m(t)$  de  $s_{\text{FM}}(t) = A_c \cos[2\pi f_c t + 2\pi k_f \int m(\tau) d\tau]$

Métodos principais:

- ① **Discriminador de frequência (slope detector)**
  - Converte FM em AM, depois detecta envelope
- ② **Detector PLL (Phase-Locked Loop)**
  - VCO "segue" a frequência de entrada
  - Saída do VCO é proporcional a  $m(t)$
- ③ **Detector de Foster-Seeley**
  - Usa transformador balanceado
- ④ **Detector de razão (ratio detector)**
  - Variante do Foster-Seeley
  - Menos sensível a variações de amplitude



# Discriminador de Frequência

**Princípio:** Converter variação de frequência em variação de amplitude



**Análise matemática:**

$$\frac{ds_{\text{FM}}(t)}{dt} = -A_c \cdot 2\pi f_i(t) \sin[2\pi f_c t + \phi(t)]$$

Amplitude do sinal derivado:

$$A(t) = 2\pi A_c f_i(t) = 2\pi A_c [f_c + k_f m(t)]$$

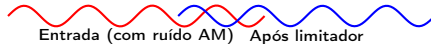
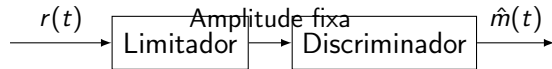
Após detector de envelope e filtro DC:

$$\hat{m}(t) = K \cdot k_f m(t)$$



# Limitador de Amplitude

**Propósito:** Remover variações de amplitude antes da demodulação FM



**Implementação:**

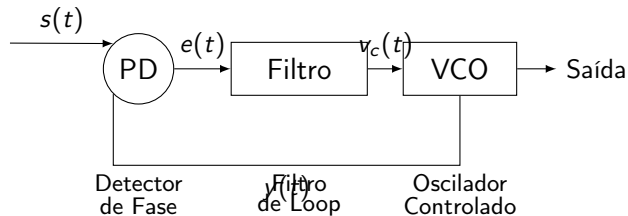
- Amplificador com saturação (clipper)
- Mantém informação de FM
- Remove variações de amplitude

**Vantagem de FM:** Informação na frequência, não na amplitude!



## Conceito do PLL

**PLL (Phase-Locked Loop):** Sistema de controle realimentado que sincroniza um oscilador local com sinal de entrada.



### Componentes:

- **Detector de fase (PD):** Compara fases de entrada e VCO
- **Filtro de loop:** Passa-baixas, define dinâmica
- **VCO:** Frequência controlada por tensão



# Análise do PLL

Sinal de entrada FM:

$$s(t) = A_c \cos[2\pi f_c t + \phi_i(t)]$$

Saída do VCO:

$$y(t) = A_v \cos[2\pi f_c t + \phi_o(t)]$$

Detector de fase (multiplicador):

$$e(t) = K_d \sin[\phi_i(t) - \phi_o(t)] \approx K_d [\phi_i(t) - \phi_o(t)]$$

para pequenos erros de fase.

VCO:

$$\frac{d\phi_o(t)}{dt} = 2\pi K_v v_c(t)$$

onde  $K_v$  é a sensibilidade do VCO (Hz/V).



## Equação Diferencial do PLL

Filtro de loop:  $V_c(s) = F(s)E(s)$

Análise em regime travado (locked):

$$\phi_o(t) \approx \phi_i(t)$$

Para FM:  $\phi_i(t) = 2\pi k_f \int m(\tau) d\tau$

VCO produz:  $\frac{d\phi_o}{dt} = 2\pi K_v v_c(t)$

Igualando:

$$v_c(t) = \frac{k_f}{K_v} m(t)$$

Conclusão:  $v_c(t)$  é proporcional a  $m(t) \rightarrow$  demodulação FM!

### Saída do PLL para FM



# Função de Transferência do PLL

No domínio de Laplace:

$$\text{Erro de fase: } E(s) = K_d[\Phi_i(s) - \Phi_o(s)]$$

$$\text{Filtro: } V_c(s) = F(s)E(s)$$

$$\text{VCO: } \Phi_o(s) = \frac{2\pi K_v}{s} V_c(s)$$

Função de transferência em malha fechada:

$$H(s) = \frac{\Phi_o(s)}{\Phi_i(s)} = \frac{K_d K_v F(s)}{s + K_d K_v F(s)}$$

Para filtro simples  $F(s) = 1$  (proporcional):

$$H(s) = \frac{K_d K_v}{s + K_d K_v}$$



## Parâmetros do PLL

**Largura de banda de captura (capture range):**

Faixa de frequências onde o PLL pode adquirir lock.

$$\Delta f_{capture} \approx \frac{1}{2\pi} \sqrt{2K_d K_v F(0)}$$

**Largura de banda de lock (lock range):**

Faixa onde o PLL mantém lock após adquirido.

$$\Delta f_{lock} \approx \frac{K_d K_v}{2\pi}$$

Sempre:  $\Delta f_{lock} > \Delta f_{capture}$

**Largura de banda de loop:**

Determina a resposta dinâmica e rejeição de ruído.



## Aplicações do PLL

O PLL é versátil e amplamente usado:

**1 Demodulação FM:**

- Receptores FM de rádio e TV
- Excelente linearidade e rejeição de amplitude

**2 Síntese de frequência:**

- Gerar múltiplos de frequência de referência
- Usado em geradores de RF

**3 Recuperação de portadora:**

- Sistemas de comunicação digital
- Demodulação coerente

**4 Recuperação de clock:**

- Sincronização de dados
- Interfaces seriais

**5 Controle de motor:**



# Geração Direta de FM

Método: Modulador Direto com VCO



$$f_{out} = f_c + k_v m(t)$$

Características:

- Simples e direto
- $f_{out} = f_c + k_v m(t)$
- VCO implementado com: varactor diode, capacitor variável, etc.

Problema: Instabilidade de frequência

- $f_c$  pode derivar com temperatura, componentes



## Método de Armstrong (Indireto)

**Ideia:** Gerar NBFM estável, depois converter para WBFM

**Processo:**

- ① Gerar NBFM com  $\beta$  pequeno e  $f_c$  estável (cristal)
- ② Multiplicar frequência por  $n$ :
  - $f_c \rightarrow nf_c$
  - $\beta \rightarrow n\beta$
  - $\Delta f \rightarrow n\Delta f$
- ③ Converter para banda desejada (mixing)
- ④ Repetir multiplicação se necessário

**Exemplo:**

Gerar FM com  $f_c = 100$  MHz,  $\Delta f = 75$  kHz:

- NBFM:  $f_1 = 200$  kHz,  $\Delta f_1 = 25$  Hz

Modulações Analógicas

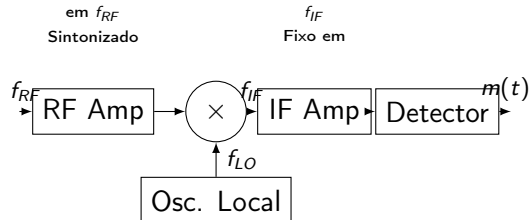
64 -  $f_c = 100$  MHz -  $\Delta f = 1$  kHz



# Princípio do Receptor Superheterodino

**Problema:** Demodular diretamente em  $f_c$  variável é complexo

**Solução:** Converter todas as frequências recebidas para uma **frequência intermediária (IF)** fixa



$$f_{LO} = f_{RF} \pm f_{IF}$$



# Vantagens do Superheterodino

## Vantagens:

### ① Seletividade:

- Filtro IF fixo pode ser muito seletivo
- Não precisa ajustar filtro ao trocar estação

### ② Sensibilidade:

- Amplificação concentrada em frequência fixa
- Melhor controle de ganho (AGC)

### ③ Estabilidade:

- Osciladores em frequência fixa são mais estáveis

## Problema: Frequência Imagem

Duas frequências produzem mesmo  $f_{IF}$ :

- Desejada:  $f_s = f_{LO} + f_{IF}$
- Imagem:  $f_{im} = f_{LO} - f_{IF}$



## Exemplo: Receptor FM Superheterodino

Rádio FM comercial:

- Banda FM: 88-108 MHz
- IF padrão:  $f_{IF} = 10.7$  MHz

Para receber  $f_{RF} = 100.0$  MHz:

$$f_{LO} = f_{RF} + f_{IF} = 100.0 + 10.7 = 110.7 \text{ MHz}$$

Frequência imagem:

$$f_{im} = f_{LO} + f_{IF} = 110.7 + 10.7 = 121.4 \text{ MHz}$$

Fora da banda FM (88-108 MHz)  $\rightarrow$  filtro RF facilmente rejeita

Processamento:

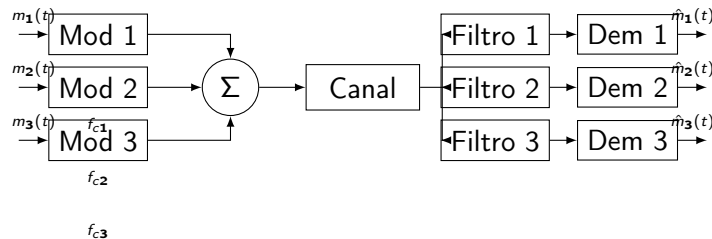
- Amplificador RF sintonizado em 100 MHz



# Multiplexação por Divisão de Frequência

**FDM (Frequency Division Multiplexing):**

Múltiplos sinais compartilham mesmo canal, cada um em frequência diferente.



**Requisito:**  $f_{ci}$  suficientemente espaçadas para evitar sobreposição espectral  
**Aplicações:** TV a cabo, telefonia analógica (hierarquia FDM)



## Exemplo: FDM em Telefonia

Hierarquia FDM analógica (histórica):

- **Grupo:** 12 canais de voz (4 kHz cada)
  - SSB-LSB, espaçamento de 4 kHz
  - Faixa: 60-108 kHz
  - Banda total: 48 kHz
- **Supergrupo:** 5 grupos = 60 canais
  - Faixa: 312-552 kHz
  - Banda: 240 kHz
- **Grupo mestre:** 10 supergrupos = 600 canais
  - Faixa: 564-3084 kHz
  - Banda: 2520 kHz

**Nota:** Substituído por sistemas digitais (TDM, SONET/SDH), mas princípio permanece em sistemas ópticos (WDM).



## Resumo: Modulação Angular

### FM vs. PM:

- FM: frequência  $\propto m(t)$ , fase  $\propto \int m(t) dt$
- PM: fase  $\propto m(t)$ , frequência  $\propto dm(t)/dt$
- FM mais comum (melhor em ruído)

### Espectro FM:

- Infinitas bandas laterais (Bessel)
- Largura de banda:  $B \approx 2(\Delta f + f_m)$  (Carson)
- NBFM:  $\beta \ll 1$ , WBFM:  $\beta \gg 1$

### Demodulação:

- Discriminador de frequência
- PLL (mais usado atualmente)  
Modulações Analógicas

# Capítulo 5

Efeito do Ruído em Sistemas de Comunicação

SNR, figura de ruído e perdas de transmissão



## Modelo de canal com ruído aditivo

Sistema de comunicação em banda base: sinal  $m(t)$  transmitido, ruído aditivo no canal.

**Sinal recebido:**

$$r(t) = m(t) + n(t)$$

onde  $n(t)$  é ruído branco gaussiano (AWGN) com densidade espectral de potência bilateral  $N_0/2$  (W/Hz).

**Receptor:** Filtro passa-baixas ideal com largura de banda  $W$  (igual à banda de  $m(t)$ ).

**Potência do sinal na saída do filtro:**  $P_m$  (potência média de  $m(t)$ ).

**Potência do ruído na saída:** Ruído filtrado em  $[-W, W]$  tem potência

$$N = \int_{-W}^W \frac{N_0}{2} df = N_0 W$$



## SNR em banda base

Relação sinal-ruído na saída (SNR de referência):

$$\left(\frac{S}{N}\right)_o = \frac{P_m}{N_0 W}$$

Definição: SNR de entrada

Chamamos de  $\gamma$  a relação sinal-ruído na entrada do demodulador (após filtro de recepção, na banda do sinal):

$$\gamma = \frac{P_r}{N_0 W}$$

onde  $P_r$  é a potência do sinal recebido (na banda útil).

Para banda base,  $P_r = P_m$ , logo  $(S/N)_o = \gamma$ . Este valor serve de referência para comparar



## Exemplo: SNR banda base

Dados: Sinal de voz com  $P_m = 10 \text{ mW}$ , banda  $W = 4 \text{ kHz}$ . Canal com  $N_0 = 10^{-12} \text{ W/Hz}$ .

Potência do ruído na saída do filtro:

$$N = N_0 W = 10^{-12} \times 4000 = 4 \times 10^{-9} \text{ W} = 4 \text{ nW}$$

SNR na saída:

$$\left(\frac{S}{N}\right)_o = \frac{10 \times 10^{-3}}{4 \times 10^{-9}} = 2,5 \times 10^6 \approx 64 \text{ dB}$$

Parâmetro  $\gamma$ :

$$\gamma = \frac{P_m}{N_0 W} = \left(\frac{S}{N}\right)_o = 64 \text{ dB}$$

Em sistemas reais, perdas de propagação reduzem  $P_r$  e portanto  $\gamma$  e  $(S/N)_o$ .



## Receptor DSB-SC com ruído

Sinal recebido:  $r(t) = s(t) + n(t)$ , com  $s(t) = A_c m(t) \cos(2\pi f_c t)$ .

Ruído  $n(t)$  em banda passante (centrado em  $f_c$ ): pode ser escrito na forma em quadratura:

$$n(t) = n_c(t) \cos(2\pi f_c t) - n_s(t) \sin(2\pi f_c t)$$

onde  $n_c(t)$  e  $n_s(t)$  são ruídos de banda base, independentes, cada um com PSD  $N_0$  em  $[-W, W]$  e potência  $N_0 W$ .

**Demodulação coerente:** Multiplicar por  $2 \cos(2\pi f_c t)$  e filtrar passa-baixas em  $W$ .  
Saída do multiplicador:

$$\begin{aligned} r(t) \cdot 2 \cos(2\pi f_c t) &= 2A_c m(t) \cos^2(2\pi f_c t) + 2n(t) \cos(2\pi f_c t) \\ &= A_c m(t)[1 + \cos(4\pi f_c t)] + n_c(t)[1 + \cos(4\pi f_c t)] + n_s(t) \sin(4\pi f_c t) \end{aligned}$$

Após filtro passa-baixas (remove componentes em  $2f_c$ ):  
Modulações Analógicas



## SNR na saída do DSB-SC

Saída do demodulador:  $y(t) = A_c m(t) + n_c(t)$ .

Potência do sinal na saída:  $P_{so} = A_c^2 P_m$ .

Potência do ruído na saída:  $n_c(t)$  tem PSD  $N_0$  em  $[-W, W]$ , logo  $N_o = N_0 W$ .

SNR na saída:

$$\left(\frac{S}{N}\right)_o = \frac{A_c^2 P_m}{N_0 W}$$

Potência recebida (sinal DSB-SC):  $P_r = \frac{A_c^2 P_m}{2}$  (em  $1\Omega$ ). Assim  $A_c^2 P_m = 2P_r$ .

$$\left(\frac{S}{N}\right)_o = \frac{2P_r}{N_0 W} = 2\gamma$$

### Resultado

Para DSBC com demodulação coerente:  $(S/N)_o = 2\gamma$ . Ou seja, 3 dB melhor que o sistema



## Comparação banda base vs. DSB-SC

**Banda base:**  $(S/N)_o = P_m/(N_0 W)$ . Se a potência recebida é  $P_m$ , então  $(S/N)_o = \gamma$ .

**DSB-SC:** Potência transmitida em banda lateral é  $P_r = A_c^2 P_m / 2$ . SNR na saída:

$$\left(\frac{S}{N}\right)_o = \frac{A_c^2 P_m}{N_0 W} = \frac{2P_r}{N_0 W} = 2\gamma$$

**Interpretação:** No DSB-SC, após multiplicação por portadora e filtragem, apenas a componente em fase do ruído ( $n_c$ ) passa; a componente em quadratura ( $n_s$ ) é rejeitada. O sinal útil é recuperado com ganho. O fator 2 em relação a  $\gamma$  aparece porque  $\gamma$  foi definido como  $P_r/(N_0 W)$  e  $P_r$  é a potência do sinal modulado (que é metade da potência na saída do demodulador em termos de contribuição útil  $A_c^2 P_m = 2P_r$ ).

**Em resumo:** Para mesma potência recebida  $P_r$ , o DSB-SC coerente oferece  $(S/N)_o = 2\gamma$ , ou seja, o dobro da SNR de um sistema banda base com a mesma potência de sinal na banda  $W$ .



## Ruído em SSB AM

No SSB, o sinal ocupa apenas metade da banda do DSB (largura  $W$  em vez de  $2W$ ).

**Sinal recebido:**  $r(t) = s_{SSB}(t) + n(t)$ , com  $s_{SSB}$  em banda  $W$  (USB ou LSB).

**Demodulação coerente:** Mesmo que DSB-SC (multiplicar por portadora em fase e filtrar em  $W$ ).

**Análise:** O ruído em banda passante na banda do SSB tem as componentes  $n_c$  e  $n_s$ ; após demodulação coerente, apenas  $n_c$  contribui na saída, com potência  $N_0 W$  (a banda do filtro é  $W$ ).

**Potência do sinal:**  $P_r = A_c^2 P_m / 4$  (SSB tem metade da potência de um DSB com mesma amplitude de portadora, pois só uma banda lateral). Saída útil: proporcional a  $A_c m(t)$ , com potência  $A_c^2 P_m / 4 = P_r$ .

$$\left(\frac{S}{N}\right)_c = \frac{P_r}{N_0 W} = \gamma$$



## Receptor AM convencional com ruído

Sinal AM:  $s(t) = A_c[1 + \mu m_n(t)] \cos(2\pi f_c t)$ . Receptor usa **detector de envelope**.

Entrada do detector:  $r(t) = s(t) + n(t)$ . Escrevendo

$n(t) = n_c(t) \cos(2\pi f_c t) - n_s(t) \sin(2\pi f_c t)$ :

$$r(t) = [A_c(1 + \mu m_n) + n_c(t)] \cos(2\pi f_c t) - n_s(t) \sin(2\pi f_c t)$$

**Envelope** de  $r(t)$ :

$$E(t) = \sqrt{[A_c(1 + \mu m_n) + n_c]^2 + n_s^2}$$

Para **SNR de entrada alta** ( $\gamma \gg 1$ ), o termo dominante é  $A_c(1 + \mu m_n)$  e o ruído perturba pouco. Aproximação linear mostra que a componente de ruído na saída é essencialmente  $n_c(t)$  (em fase com a portadora).

**Potência da portadora recebida:**  $A_c^2/2$ . Potência nas bandas laterais:  $A_c^2 \mu^2 P_{m_n}/2$ . Potência total:



## SNR na saída do AM convencional

Para AM com detector de envelope e alta SNR, a análise mostra:

$$\left(\frac{S}{N}\right)_o \approx \frac{\mu^2 P_{m_n}}{1 + \mu^2 P_{m_n}} \gamma$$

Para tom único com  $\mu$  (mensagem normalizada):  $P_{m_n} = 1/2$ ,

$$\left(\frac{S}{N}\right)_o \approx \frac{\mu^2}{2 + \mu^2} \gamma$$

### Eficiência e SNR

O fator  $\frac{\mu^2}{2+\mu^2}$  é exatamente a **eficiência de potência**  $\eta$  do AM. Como  $\eta \leq 1/3$  (máximo em  $\mu = 1$ ), temos  $(S/N)_o \leq \gamma/3$ . Ou seja, AM convencional é **pior** que banda base, DSB-SC e SSB para mesma  $\gamma$ .



## Modelo de ruído em FM

Sinal FM recebido:  $r(t) = A_c \cos[2\pi f_c t + \phi(t)] + n(t)$ , com  $\phi(t) = 2\pi k_f \int m(\tau) d\tau$ .

Ruído em banda passante:  $n(t) = n_c(t) \cos(2\pi f_c t) - n_s(t) \sin(2\pi f_c t)$ .

Representação de  $r(t)$  em envelope e fase:

$$r(t) = E(t) \cos[2\pi f_c t + \psi(t)]$$

onde  $E(t)$  é o envelope e  $\psi(t)$  a fase. Para **SNR de entrada alta**,  $E(t) \approx A_c$  e a perturbação de fase devido ao ruído é

$$\psi(t) \approx \phi(t) + \frac{n_s(t)}{A_c}$$

(componente  $n_s$  em quadratura modula a fase). O demodulador FM recupera  $\frac{1}{2\pi} \frac{d\psi}{dt}$ ; o ruído na saída está relacionado a  $\frac{1}{A_c} \frac{dn_s}{dt}$  (derivada do ruído), cuja PSD aumenta com  $f^2$  na banda de mensagem.



## SNR na saída do FM (WBFM)

A análise completa (Proakis, Cap. 6) para FM com tom único  $m(t) = A_m \cos(2\pi f_m t)$  e desvio  $\Delta f = k_f A_m$  resulta em:

$$\left(\frac{S}{N}\right)_o = 3\beta^2 \left(\frac{\Delta f}{f_m}\right)^2 \gamma = 3\beta^2 \gamma$$

(pois  $\beta = \Delta f / f_m$ ).

### Relação SNR em FM

Para FM com índice de modulação  $\beta$  e mesma  $\gamma = P_r/(N_0 W)$  (usando  $W$  como banda da mensagem):

$$\boxed{\left(\frac{S}{N}\right)_o = 3\beta^2 \gamma}$$



## Exemplo: SNR em FM

**Dados:** FM com  $\beta = 5$ ,  $\gamma = 100$  (20 dB). Banda da mensagem  $f_m = 15$  kHz.

$$\left(\frac{S}{N}\right)_o = 3 \times 25 \times 100 = 7500 \approx 38,75 \text{ dB}$$

Ganho sobre banda base:  $38,75 - 20 = 18,75$  dB (melhoria substancial).

**Preço:** Banda FM  $B \approx 2 \times 15 \times (5 + 1) = 180$  kHz, enquanto banda base seria  $2 \times 15 = 30$  kHz. FM usa 6 vezes mais banda e ganha  $\approx 3\beta^2 = 75$  em potência de SNR (cerca de 19 dB).

**Comparação com AM:** Para mesmo  $\gamma$ , AM convencional daria  $(S/N)_o \approx \eta\gamma \leq \gamma/3$ ; FM com  $\beta = 5$  dá  $75\gamma$ , ou seja, FM pode ser muito superior em SNR quando há banda disponível.



## Efeito de limiar na demodulação FM

Para **SNR de entrada baixa**, a aproximação  $E(t) \approx A_c$  e  $\psi(t) \approx \phi + n_s/A_c$  deixa de ser válida. O envelope e a fase sofrem distorções não lineares.

**Comportamento típico:**

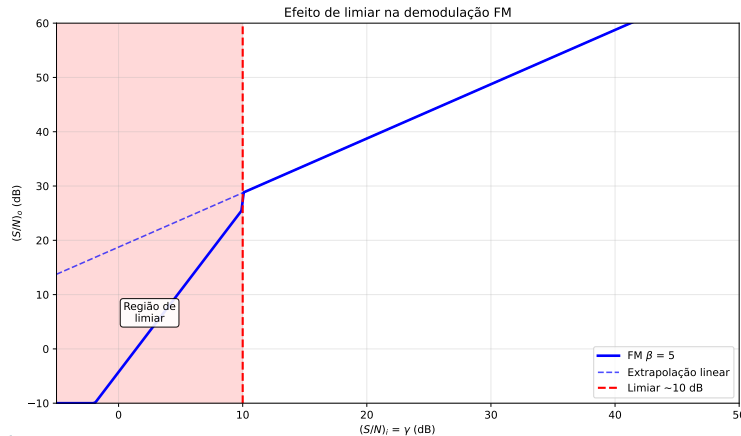
- Acima de um certo **SNR de entrada (limiar)**,  $(S/N)_o$  segue a curva  $3\beta^2\gamma$ .
- Abaixo do limiar,  $(S/N)_o$  cai rapidamente (degradação súbita).

O limiar depende de  $\beta$ : quanto maior  $\beta$ , maior tende a ser o SNR de entrada necessário para operar acima do limiar.

**Causa:** Quando o ruído é forte, o vetor (sinal + ruído) pode “inverter” a fase; o discriminador FM interpreta isso como desvio de frequência espúrio, gerando picos de ruído (clique noise) e degradando  $(S/N)_o$ .



## Curva de limiar (qualitativa)





## Motivação: ruído em FM e espectro

Na saída do demodulador FM, a PSD do ruído é aproximadamente **quadrática** em frequência:  $S_{n_o}(f) \propto f^2$  na banda  $[0, W]$ . Assim, as **altas frequências** da mensagem sofrem mais ruído que as baixas.

**Ideia:** Pré-ênfase no transmissor (amplificar altas frequências antes de modular) e pós-ênfase no receptor (atenuar altas frequências após demodular) de forma que a resposta global seja plana e o ruído seja “achatado” na banda, melhorando o SNR percebido para altas frequências.



## Filtros de pré-ênfase e pós-ênfase

**Pré-ênfase** (no transmissor): filtro passa-altas suave, por exemplo

$$H_{pe}(f) = 1 + j \frac{f}{f_0} \quad \Rightarrow \quad |H_{pe}(f)|^2 = 1 + (f/f_0)^2$$

com  $f_0$  da ordem de 2–3 kHz (áudio). Assim, altas frequências são enfatizadas antes da modulação FM.

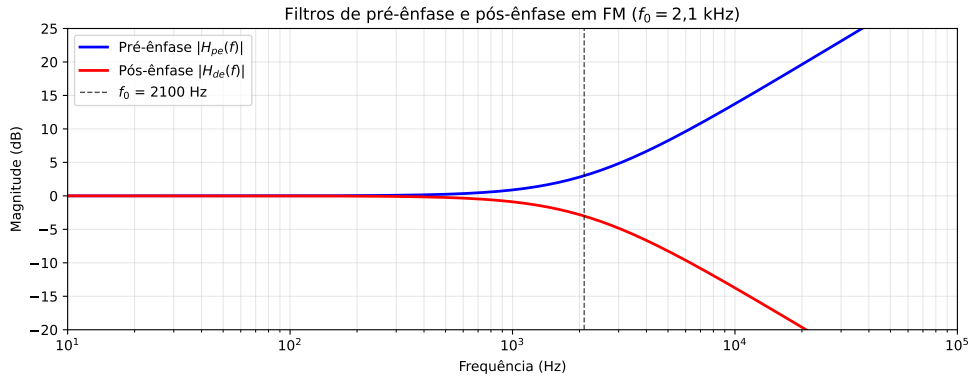
**Pós-ênfase** (no receptor): filtro inverso (passa-baixas) para equalizar:

$$H_{de}(f) = \frac{1}{H_{pe}(f)} = \frac{1}{1 + j f / f_0}$$

Após demodulação FM, o sinal passa por  $H_{de}(f)$ ; a resposta global para o sinal é plana, e a PSD do ruído (que era  $\propto f^2$ ) é multiplicada por  $|H_{de}(f)|^2$ , resultando em ruído mais uniforme na banda e melhor SNR médio, especialmente nas altas frequências.



# Resposta em frequência típica



1e-15

Resposta global  $|H_{pe}| \cdot |H_{de}| = 1$  (0 dB)



## Tabela comparativa: SNR e banda

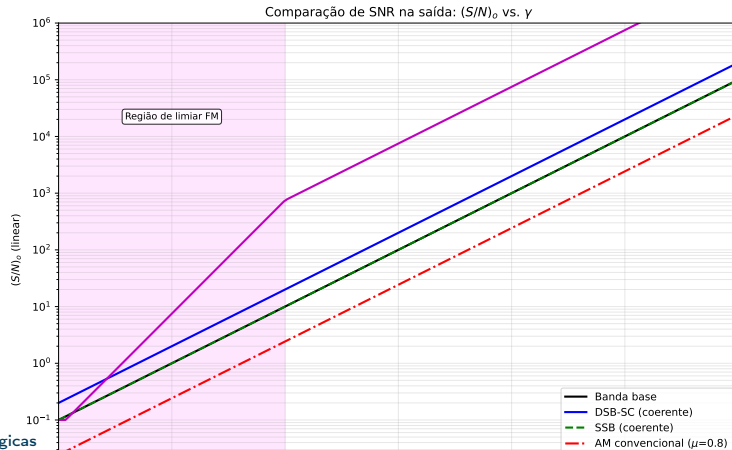
Para mesma potência recebida  $P_r$  e mesma banda de mensagem  $W$ , definindo  $\gamma = P_r/(N_0 W)$ :

Sistema	$(S/N)_o$	Banda do sinal
Banda base	$\gamma$	$W$
DSB-SC (coerente)	$2\gamma$	$2W$
SSB (coerente)	$\gamma$	$W$
AM convencional (envelope)	$\eta\gamma \leq \gamma/3$	$2W$
FM (WBFM, índice $\beta$ )	$3\beta^2\gamma$	$\approx 2(\Delta f + f_m)$

FM troca banda por SNR; AM convencional tem pior SNR que banda base e DSB-SC. SSB iguala banda base em SNR com metade da banda do DSB.



# Gráfico comparativo (placeholder)





## Caracterização do ruído térmico

Ruído térmico em resistores e dispositivos: modelo de **ruído branco gaussiano** em banda limitada.

**Densidade espectral de potência (bilateral):**

$$S_n(f) = \frac{N_0}{2} \quad (\text{W/Hz})$$

$N_0 = kT$  em W/Hz, com  $k = 1,38 \times 10^{-23}$  J/K (Boltzmann) e  $T$  a temperatura em Kelvin.

Para  $T = 290$  K:  $N_0 \approx 4 \times 10^{-21}$  W/Hz.

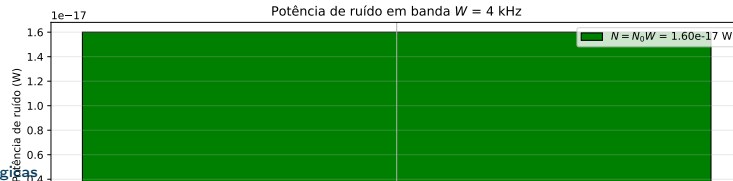
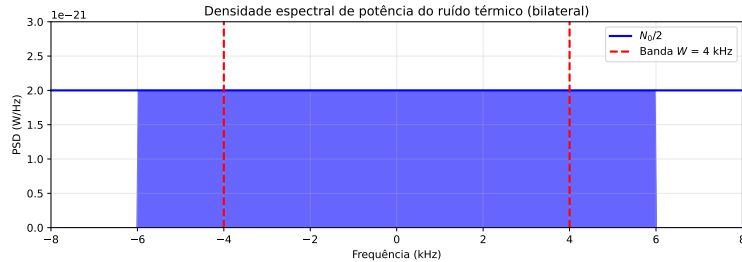
**Potência de ruído em banda  $B$  (positiva):**

$$N = \frac{N_0}{2} \times 2B = N_0 B$$

(integrando de  $-B$  a  $B$  na forma bilateral).



## Figura: PSD do ruído térmico





## Figura de ruído

Um amplificador (ou dispositivo) não é ideal: adiciona ruído interno. A **figura de ruído**  $F$  mede a degradação de SNR.

**Definição (ganho disponível):** Com entrada à temperatura de referência  $T_0 = 290$  K,

$$F = \frac{(S_i/N_i)}{(S_o/N_o)}$$

onde  $S_i/N_i$  é a SNR de entrada e  $S_o/N_o$  a SNR de saída (ambas em potência). Para amplificador ideal,  $F = 1$ . Em dB:  $NF = 10 \log_{10} F$ .

**Interpretação:**  $F$  é a razão entre a SNR de entrada e a SNR de saída. Quanto maior  $F$ , pior o bloco para o ruído.



## Temperatura equivalente de ruído

Em vez de  $F$ , pode-se usar a **temperatura equivalente de ruído**  $T_e$ :

$$F = 1 + \frac{T_e}{T_0} \Leftrightarrow T_e = (F - 1)T_0$$

Interpretação: o ruído interno do dispositivo equivale a colocar na entrada uma fonte térmica à temperatura  $T_e$  (além de  $T_0$ ). Ruído total de entrada equivalente:  $N_0B$  com  $N_0 = k(T_0 + T_e)$ .  
**Exemplo:**  $F = 2$  (3 dB)  $\Rightarrow T_e = 290$  K.  $F = 1,1$   $\Rightarrow T_e = 29$  K.



## Cascata de estágios (Fórmula de Friis)

Para estágios em cascata com ganhos disponíveis  $G_1, G_2, \dots$  e figuras de ruído  $F_1, F_2, \dots$ , a figura de ruído total é

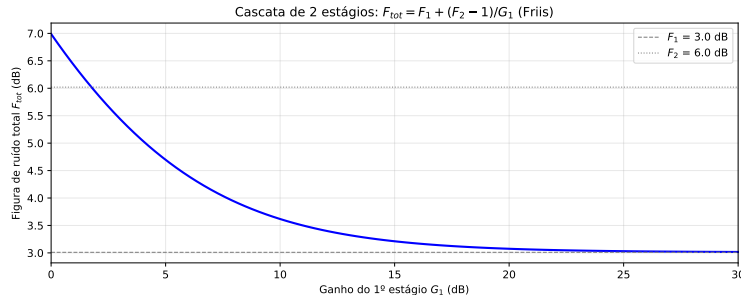
$$F_{tot} = F_1 + \frac{F_2 - 1}{G_1} + \frac{F_3 - 1}{G_1 G_2} + \dots$$

O primeiro estágio domina se  $G_1$  for alto: é importante ter baixo ruído (pequeno  $F_1$ ) no primeiro estágio (ex.: LNA no receptor).

**Exemplo:** Dois estágios:  $F_1 = 2$ ,  $G_1 = 10$ ;  $F_2 = 4$ .  $F_{tot} = 2 + (4 - 1)/10 = 2,3$ . Trocar a ordem (pior estágio primeiro) daria  $F_{tot} = 4 + (2 - 1)/G_2$ ; se  $G_2$  for pequeno, a figura total piora muito.



## Figura: cascata e Friis



Efeito da ordem dos estágios na figura de ruído total





## Atenuação e impacto na SNR

Enlace com **perda de transmissão  $L$**  (adimensional,  $L > 1$ ): potência recebida  $P_r = P_t/L$ , onde  $P_t$  é a potência transmitida.

**Ruído:** Assume-se que o ruído é adicionado principalmente no receptor (temperatura de ruído do receptor). Então a potência de ruído na entrada do receptor não depende de  $L$ ; apenas o sinal é atenuado.

**SNR na entrada do receptor:**

$$\gamma = \frac{P_r}{N_0 W} = \frac{P_t/L}{N_0 W}$$

Ou seja, um aumento de  $L$  (mais perda) reduz  $\gamma$  na mesma proporção. Em dB: perda de 3 dB  $\Rightarrow \gamma$  cai 3 dB.

**Tratamento como “bloco” de ruído:** Um atenuador à temperatura  $T_0$  tem figura de ruído  $F = L$  e temperatura equivalente  $T_e = (L - 1)T_0$ , útil na cadeia de Friis.



## Repetidores em enlaces analógicos

Para enlaces longos, a atenuação pode ser grande demais. **Repetidores** são usados para reamplificar o sinal.

**Repetidor analógico (amplificador)**: Amplifica sinal + ruído. O ruído é amplificado junto; cada repetidor adiciona ruído interno (figura de ruído). A SNR degrada a cada estágio. Em cascata de  $n$  repetidores iguais, a figura total cresce e a SNR final pode ficar limitada.

**Repetidor regenerativo (digital)**: Detecta e regenera símbolos; o ruído não se acumula da mesma forma (cada regeneração “limpa” o sinal, desde que a taxa de erro seja baixa). Em sistemas digitais, repetidores regenerativos são preferidos para enlaces longos.

**Resumo:** Em comunicação analógica, repetidores amplificadores degradam progressivamente a SNR; o número de repetidores é limitado pelo SNR mínimo aceitável no destino.



## Resumo: Efeito do ruído

- **Banda base:**  $(S/N)_o = P_m/(N_0 W) = \gamma$  (referência).
- **DSB-SC (coerente):**  $(S/N)_o = 2\gamma$ .
- **SSB (coerente):**  $(S/N)_o = \gamma$ ; mesma SNR que banda base, metade da banda do DSB.
- **AM convencional:**  $(S/N)_o \approx \eta\gamma \leq \gamma/3$ ; pior que os demais.
- **FM (WBFM):**  $(S/N)_o = 3\beta^2\gamma$ ; ganho em SNR em troca de banda; efeito de limiar.
- **Pré/pós-ênfase:** Melhora SNR em altas frequências em FM.
- **Figura de ruído e Friis:**  $F_{tot} = F_1 + (F_2 - 1)/G_1 + \dots$ ; primeiro estágio crítico.
- **Perdas:** Reduzem  $\gamma$ ; repetidores analógicos degradam SNR ao longo da cascata.



# Agradecimentos

Obrigado pela atenção!

**Contato:**

daniel.araujo@unb.br

**Laboratório de Telecomunicações**  
Universidade de Brasília

Dúvidas?



## Referências I

-  Marcelo Sampaio de Alencar.  
*Princípios de Comunicações.*  
Érica, São Paulo, 2nd edition, 2011.
-  Edwin H. Armstrong.  
The super-heterodyne—its origin, development, and some recent improvements.  
*Proceedings of the IRE*, 12(5):539–552, 1924.
-  Edwin H. Armstrong.  
A method of reducing disturbances in radio signaling by a system of frequency modulation.  
*Proceedings of the IRE*, 24(5):689–740, 1936.



## Referências II

-  William R. Bennett.  
The frequency division multiplex hierarchy in telephone systems.  
*Bell System Technical Journal*, 49(4):631–652, 1970.
-  Friedrich Wilhelm Bessel.  
Über eine besondere gattung algebraischer funktionen.  
*Astronomische Nachrichten*, 1:185–204, 1824.
-  Roland E. Best.  
*Phase-Locked Loops: Design, Simulation, and Applications*.  
McGraw-Hill, New York, 6th edition, 2007.



## Referências III

-  Ronald N. Bracewell.  
*The Fourier Transform and Its Applications.*  
McGraw-Hill, New York, 3rd edition, 2000.
-  A. Bruce Carlson and Paul B. Crilly.  
*Communication Systems: An Introduction to Signals and Noise in Electrical Communication.*  
McGraw-Hill, New York, 5th edition, 2010.



## Referências IV

-  John R. Carson.  
Notes on the theory of modulation.  
*Proceedings of the IRE*, 10(1):57–64, 1922.
-  Leon W. Couch.  
*Digital and Analog Communication Systems*.  
Pearson, Upper Saddle River, NJ, 8th edition, 2013.
-  Henri de Bellescize.  
La réception synchrone.  
*L'Onde Électrique*, 11:230–240, 1932.



## Referências V

-  Federal Communications Commission.  
Fcc rules and regulations: Title 47, part 73 - radio broadcast services.  
Technical report, FCC, Washington, DC, 2002.
-  Roger L. Freeman.  
*Radio System Design for Telecommunications.*  
John Wiley & Sons, Hoboken, NJ, 3rd edition, 2004.
-  Floyd M. Gardner.  
*Phaselock Techniques.*  
John Wiley & Sons, Hoboken, NJ, 3rd edition, 2005.



## Referências VI

-  Simon Haykin and Michael Moher.  
*Communication Systems.*  
John Wiley & Sons, Hoboken, NJ, 5th edition, 2013.
-  David Hilbert.  
Grundzüge einer allgemeinen theorie der linearen integralgleichungen.  
*Teubner*, 1912.
-  International Telecommunication Union.  
Recommendation itu-r sm.328-11: Spectra and bandwidth of emissions.  
Technical report, ITU, Geneva, Switzerland, 1982.



## Referências VII

-  B. P. Lathi and Zhi Ding.  
*Modern Digital and Analog Communication Systems.*  
Oxford University Press, New York, 4th edition, 2009.
-  Robert Levy.  
Image-rejection and ssb mixer design.  
*Proceedings of the IRE*, 48(6):1126–1128, 1960.
-  Júlio César de Oliveira Medeiros.  
*Princípios de Telecomunicações: Teoria e Prática.*  
Érica, São Paulo, 4th edition, 2007.



## Referências VIII

-  Juarez do Nascimento.  
*Comunicações Digitais.*  
Novatec, São Paulo, 1st edition, 2014.
-  National Television System Committee.  
Ntsc signal specifications.  
Technical report, FCC, Washington, DC, 1953.
-  H. Nyquist.  
The application of the vestigial sideband transmission method to television.  
In *IRE Convention*, 1938.



## Referências IX

-  Alan V. Oppenheim and Ronald W. Schafer.  
*Discrete-Time Signal Processing.*  
Pearson, Upper Saddle River, NJ, 3rd edition, 2010.
-  Athanasios Papoulis and S. Unnikrishna Pillai.  
*Probability, Random Variables, and Stochastic Processes.*  
McGraw-Hill, New York, 4th edition, 2002.



## Referências X

-  John G. Proakis and Masoud Salehi.  
*Fundamentals of Communication Systems.*  
Pearson, Upper Saddle River, NJ, 2008.  
Cap. 6: Effect of Noise on Analog Communication Systems.
-  John G. Proakis and Masoud Salehi.  
*Communication Systems Engineering.*  
Pearson, Upper Saddle River, NJ, 2nd edition, 2014.



## Referências XI

-  Ulrich L. Rohde, Ajay K. Poddar, and Georg Bock.  
*RF/Microwave Circuit Design for Wireless Applications.*  
John Wiley & Sons, Hoboken, NJ, 2nd edition, 2005.
-  Mischa Schwartz.  
*Information Transmission, Modulation, and Noise.*  
McGraw-Hill, New York, 4th edition, 1996.
-  Claude E. Shannon.  
A mathematical theory of communication.  
*Bell System Technical Journal*, 27(3):379–423, 1948.



## Referências XII

-  Bernard Sklar.  
*Digital Communications: Fundamentals and Applications.*  
Prentice Hall, Upper Saddle River, NJ, 2nd edition, 2001.
-  Andrew J. Viterbi.  
*Principles of Coherent Communication.*  
McGraw-Hill, 1966.



## Referências XIII

-  George Neville Watson.  
*A Treatise on the Theory of Bessel Functions.*  
Cambridge University Press, Cambridge, UK, 2nd edition, 1995.  
Originally published 1944.
-  Donald K. Weaver.  
A third method of generation and detection of single-sideband signals.  
*Proceedings of the IRE*, 44(12):1703–1705, 1956.



## Referências XIV



- Rodger E. Ziemer and William H. Tranter.  
*Principles of Communications: Systems, Modulation, and Noise.*  
John Wiley & Sons, Hoboken, NJ, 7th edition, 2014.